

بسم الله الرحمن الرحيم

پروژه ایرودینامیک

بهار ۹۷

دینا سلطانی تهرانی ۹۵۲۹۰۳۳ -- مینا صالحی مرنی ۹۵۲۹۰۴۰ - نسیم فلاحی آرزودار ۹۵۲۹۴۳۲

## مقدمه

به طور کلی روش های به دست آوردن نیروهای پسا و برا در ایرودینامیک و طراحی سازه های هوایی از مسائل کاربردی در صنعت هوافضا بوده و هست. معادلاتی که برای به دست آوردن این نیروها استفاده می شود در حالت کلی معادلات معروف به ناویر-استوکس است که از نوع معادلات دیفرانسیل جزئی هستند و حل آنها بسیار مشکل خواهد بود. امروزه نرم افزارهای تجاری مانند فلوئنت و CFX به راحتی این PDE ها را حل کرده و نتایج را به دقت ارائه می دهند ولی در نسل های پیش از این نرم افزارها همه محاسبات به صورت دستی، تجربی و یا نهایتاً به کمک نرم افزارهای ابتدایی مثل x-foil انجام می شد. هدف از این پژوهش استفاده از این روش ها و مقایسه نتایج آنها است.

## معرفی اولیه

پنل متد از جمله روش های عددی حل معادلات مبتنی بر سطح است که از آن برای تحلیل جریان های نیوتونی غیر لزج و غیر چرخشی در اطراف ابزارهای پرنده در سرعت های مادون صوت یا مافوق صوت استفاده می شود. ابزارهای کاربر در این روش عبارتند از: (۱) صفحه های تختی که با تعداد معین بدنه را مدلسازی میکنند و روی این صفحه ها سه نوع توزیع تئوریک چشمه، چاه و گردابه آزادی تواند قرار داشته باشد. (۲) شرایط مرزی مختلفی که بسته به مسئله می توانند طرح و استفاده شوند. در حال حاضر کدهای پنل متد تنها کدهایی هستند که به صورت گسترده و بعد از نرم افزارهای پیشرفته تجاری برای مدلسازی هندسه های پیچیده و موارد خاص توسعه یافته اند. به کمک این کدها و ترکیب آنها با برخی از همین نرم افزارهای جدید، حل ناحیه گذرای جریان امکان پذیر شده است که پیشرفت مهمی به شمار میرود. نتایج حاصل از این حل ها با دقت خوبی بسته به نوع مسئله تعیین میشود ولی به طور

کلی این روش ها فوایدی دارند که هنوز استفاده از آنها در بسیاری از موارد به لحاظ سرعت و حجم محاسباتی بر نرم افزارهای تجاری ترجیح داده میشود. این نوشتار خلاصه ای از مزایا و معایب این روش ارائه میدهد.

### توضیح نمادهای استفاده شده

$C_p$  = ضریب پسا

$\gamma$  = قدرت گردابه (vortex strength)

$c$  = وتر بال

$\alpha$  = زاویه حمله

$\psi$  = تابع جریان (stream function)

$\phi$  = تابع پتانسیل جریان

$Q$  = قدرت چشمه و چاه (source, sink strength)

$\sigma$  = چاه و چشمه بر روی پانل ها (source, sink)

$A$  = ماتریس ضرایب

$b$  = ضرایب سمت راست معادله

$C_l$  = ضریب برآ

## شرح محاسباتی روش

ابتدا بدنه ایرفویل به  $n$  پنل ( $n+1$ ) نقطه تقسیم شده روی هر پنل یک توزیع پیوسته از منبع و گردابه است که در طول پنل ثابت می باشد ولی قدرت منبع از پنل به پنلی دیگر متفاوت است.

تقسیم بندی پنل های ایرفول را می توان با توابع گوناگون انجام داد. که یکی از اون توابع به شکل زیر است:

$$\frac{x}{c} = \frac{1}{2} (\cos \varphi + 1) \quad \varphi = [0, 2\pi]$$

$$\frac{x}{c} = [0, 1]_{\text{bottom}} \& [0, 1]_{\text{top}}$$

برای ساختن خطوط جریان اصلی روی بدنه ایرفول از توزیع پیوسته ی چشمه و چاه بر روی هر پنل استفاده می شود برای تولید نیروی لیفت از توزیع گردابه استفاده می شود که بر روی پنل ها ثابت است.

در حال حاضر مسئله دارای  $N+1$  مجهول است که نیاز به  $N+1$  معادله است.

۱) بدنه به عنوان یک خط جریان در نظر گرفته شده است پس سرعت عمود بر آن باید صفر باشد بنابراین

سرعت عمود بر هر پنل باید صفر شود. ( $V_i, n = 0$ ) با این کار  $N$  معادله به وجود می آید.

۲) با استفاده از شرط کانه معادله ی  $N + 1$  را به دست می آید ، بدین صورت که سرعت در نزدیکی لبه فرار در

بالا و پایین ایرفول با هم برابر باشد.

برای راحتی در محاسبات فرض شده است که سرعت در وسط هر پنل حساب شود که به آن نقطه کنترل ( control

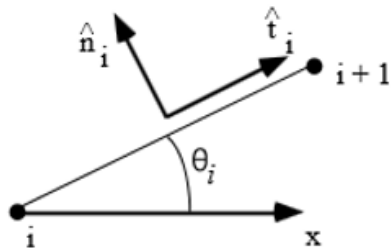
point) می گویند

سرعتی که روی هر پنل وجود دارد عبارت اند از : سرعت جریان آزاد – سرعت القایی توسط همه پنل ها (چشمه –

چاه – گردابه) و سرعت القایی خود پنل روی خودش.

برای بدست آوردن معادلات روی هر پنل به دلیل مسطح بودن یک دستگاه مختصات محلی تعریف می شود برای این

دستگاه طبق اشکال زیر خواهیم داشت که:



سرعت برای جریان آزاد :

$$\Psi = U_{\infty}y - V_{\infty}x + \text{const}$$

$$u = U_{\infty} = U \cos \alpha \quad \& \quad v = V_{\infty} = U \sin \alpha$$

سرعت برای چشمه :

$$\varphi = \frac{Q}{2\pi} \ln r$$

سرعت برای گردابه:

$$\psi = \frac{\Gamma}{2\pi} \ln r$$

برای یک نقطه ی دلخواه p سرعت القایی هر پنل را محاسبه کرده و سپس نقطه ی p را به پنل مورد نظر نسبت می دهیم.

زاویه ی هر پنل با محور مختصات اصلی را با  $\theta_i$  نمایش می دهیم.

حال فرض می کنیم می خواهیم تاثیر پنل i ام را در نقطه ی p ببینیم و سرعت ها را در این نقطه به دست آوریم.

$$\varphi = \frac{Q}{2\pi} \ln(r) \xrightarrow{\text{چون توزیع پیوسته داریم پس}} \varphi_{spi} = \int_i^{i+1} \frac{\sigma_j}{2\pi} \ln(r_{pi}) d\xi_i$$

فاصله ی پنل i ام را از نقطه ی فرضی p به دست می آوریم.

$$r_{pi} = \sqrt{(\xi_p - \xi_i)^2 + (\eta_p - \eta_i)^2} \xrightarrow{\eta_i=0} r_{pi} = \sqrt{(\xi_p - \xi_i)^2 + (\eta_p)^2}$$

در رابطه ی  $\varphi_{spi}$  قرار می دهیم.

$$\varphi_{spi} = \int_0^{L_i} \frac{\sigma_i}{4\pi} \text{Ln} \left( (\xi_p - \xi_i)^2 + (\eta_p)^2 \right) d\xi_i$$

$$\xrightarrow{\sigma_i = \text{cost}} \varphi_{spi} = \frac{\sigma_i}{4\pi} \int_0^{L_i} \text{Ln} \left( (\xi_p - \xi_i)^2 + (\eta_p)^2 \right) d\xi_i$$

$$\left. \begin{aligned} U_{\xi_{pi}} &= \frac{\partial \varphi_{spi}}{\partial \xi_p} \\ U_{\eta_{pi}} &= \frac{\partial \varphi_{spi}}{\partial \eta_p} \end{aligned} \right\} \rightarrow \left\{ \begin{aligned} U_{\xi_{pi}} &= \frac{\sigma_i}{4\pi} \int_0^{L_i} \frac{2(\xi_p - \xi_i)}{(\xi_p - \xi_i)^2 + (\eta_p)^2} d\xi_i \\ U_{\eta_{pi}} &= \frac{\sigma_i}{4\pi} \int_0^{L_i} \frac{2(\eta_p)}{(\xi_p - \xi_i)^2 + (\eta_p)^2} d\xi_i \end{aligned} \right.$$

$$\Rightarrow \left\{ \begin{aligned} U_{\xi_{pi}} &= \frac{\sigma_i}{2\pi} [\text{Ln}(r_{pi})]_0^{L_i} \\ U_{\eta_{pi}} &= \frac{\sigma_i}{2\pi} [v_{pi}]_0^{L_i} \end{aligned} \right.$$

سرعت القای هر پِنل در وسط خودش :

نقطه p را به وسط خود پِنل انتقال می دهیم حال داریم :

برای نقطه ی control point داریم :  $(\xi_p, \eta_p) = (\frac{L_i}{2}, 0)$

بنابراین :

$$U_{\xi_{pi}} \left( \frac{L_i}{2} \right) = 0$$

$$U_{\eta_{pi}} = \frac{\sigma_i}{4\pi} [v_{pi}]_0^{L_i}$$

حال برای محاسبه ی  $U_{\eta_{pi}}$  اگر از سمت بالا به وسط پِنل نزدیک شویم برابر  $\frac{\sigma_i}{2}$  و اگر از پایین نزدیک شویم برابر  $-\frac{\sigma_i}{2}$  خواهد شد.

اول پنل  $i+1$  آخر پنل  $i$  ام است پس می توانیم به جای  $r_{pi}(L_i)$  از  $r_{pi+1}(0)$  استفاده کنیم و همچنین می توانیم به جای  $v_{pi}(L_i)$  از  $v_{pi+1}(0)$  استفاده کنیم که دارای خطا می باشد ولی چون پنل ها را کوچک فرض می کنیم خطا بسیار کم است.

و در آخر داریم :

$$U_{\xi_{pi}} = \frac{\sigma_i}{2\pi} \left[ \text{Ln} \left( \frac{r_{pi}(0)}{r_{pi+1}(0)} \right) \right]$$

$$U_{\eta_{pi}} = \frac{\sigma_i}{2\pi} [v_{pi+1}(0) - v_{pi}(0)]$$

حال برای جریان vortex داریم :

$$\Psi = \frac{\Gamma}{2\pi} \text{Ln}(r) \Rightarrow \Psi_{pi} = \int_i^{i+1} \frac{\Gamma(r_{pi})}{2\pi} \text{Ln}(r_{pi}) d\xi_i$$

برای محاسبه ی  $r_{pi}$  داریم:

$$r_{pi} = \sqrt{(\xi_p - \xi_i)^2 + (\eta_p - \eta_i)^2} \xrightarrow{\eta_i=0} r_{pi} = \sqrt{(\xi_p - \xi_i)^2 + (\eta_p)^2}$$

با جایگذاری  $r_{pi}$  در  $\Psi$  و انجام مراحل :

$$\begin{cases} U_{\eta_{pi}} = \frac{\Gamma}{2\pi} [\text{Ln}(r_{pi})]_0^{L_i} \\ U_{\xi_{pi}} = \frac{\Gamma}{2\pi} [v_{pi}]_0^{L_i} \end{cases}$$

و مانند چشمه داریم :

$$\begin{cases} U_{\eta_{pi}} = \frac{\Gamma}{2\pi} \left[ \text{Ln} \left( \frac{r_{pi+1}(0)}{r_{pi}(0)} \right) \right] \\ U_{\xi_{pi}} = \frac{\Gamma}{2\pi} [v_{pi+1}(0) - v_{pi}(0)] \end{cases}$$

سرعتی که پنل در وسط خود القا می کند :

$$\begin{cases} U_{\eta_{pi}}(\frac{L_i}{2}, 0) = 0 \\ U_{\xi_{pi}}(\frac{L_i}{2}, 0) = \pm \frac{\Gamma}{2\pi} \end{cases}$$

سرعت هایی که به دست آمده در راستای  $\xi$  و راستای  $\eta$  هر پنل است باید آن ها را در راستای  $x$  و  $y$  اصلی به دست آورید تا بتوانید با هم جمع کنید :

$$\begin{cases} U_{spi} = U_{s_{\xi_{pi}}} \cos(\theta_i) - U_{s_{\eta_{pi}}} \sin(\theta_i) \\ V_{spi} = U_{s_{\xi_{pi}}} \sin(\theta_i) + U_{s_{\eta_{pi}}} \cos(\theta_i) \\ U_{v_{pi}} = U_{v_{\xi_{pi}}} \cos(\theta_i) - U_{v_{\eta_{pi}}} \sin(\theta_i) \\ V_{v_{pi}} = U_{v_{\xi_{pi}}} \sin(\theta_i) + U_{v_{\eta_{pi}}} \cos(\theta_i) \end{cases}$$

حال نقطه ی  $p$  را به وسط پنل  $j$  ام انتقال می دهیم و نوشتار را به صورت زیر در می آوریم :

$$\begin{cases} U_{sii} = U_{s_{\xi_{ij}}} \cos(\theta_i) - U_{s_{\eta_{ij}}} \sin(\theta_i) \\ V_{sii} = U_{s_{\xi_{ij}}} \sin(\theta_i) + U_{s_{\eta_{ij}}} \cos(\theta_i) \\ U_{v_{ii}} = U_{v_{\xi_{ij}}} \cos(\theta_i) - U_{v_{\eta_{ij}}} \sin(\theta_i) \\ V_{v_{ii}} = U_{v_{\xi_{ij}}} \sin(\theta_i) + U_{v_{\eta_{ij}}} \cos(\theta_i) \end{cases}$$

برای control point هر پنل می توان نوشت :

$$V_i = \left[ U_{\infty} + \sum_{i=1}^N U_{s_{ij}} + \sum_{i=1}^N U_{v_{ij}} \right] \hat{i} + \left[ V_{\infty} + \sum_{i=1}^N V_{s_{ij}} + \sum_{i=1}^N V_{v_{ij}} \right] \hat{j}$$

بردار نرمال و مماسی هر پنل در دستگاه مختصات اصلی به صورت زیر می باشد :

$$\begin{cases} n_i = -\sin(\theta_i) \hat{i} + \cos(\theta_i) \hat{j} \\ t_i = \cos(\theta_i) \hat{i} + \sin(\theta_i) \hat{j} \end{cases}$$

براساس آنچه که قبلا بیان شد دارای  $N+1$  مجهول هستیم که برای به دست آوردن آن ها باید  $N+1$  معادله بسازیم که  $N$  معادله آن از رابطه ی زیر به دست می آید :

بدنه ای که ما داریم خود یک stream line است پس سرعت عمود بر آن صفر است پس :

$$V_i \cdot n_i = 0$$

$$\xrightarrow{\text{پس}} \left[ U_{\infty} + \sum_{i=1}^N U_{sij} + \sum_{i=1}^N U_{vij} \right] (-\sin(\theta_i)) \hat{i} + \left[ V_{\infty} + \sum_{i=1}^N V_{sij} + \sum_{i=1}^N V_{vij} \right] (\cos(\theta_i)) \hat{j} = 0$$

چون  $N$  پنل داریم پس  $N$  معادله به شکل بالا به دست می آید که پس از ساده سازی میتوان به شکل زیر نشان داد :

$$\sum_{i=1}^N A_{ij} \sigma_i + A_{i,N+1} \Gamma = b_i$$

معادله ی  $N+1$  ام از شرط Kutta به دست می آید. یکی از پیامدهای شرط کاته این بود که سرعت مماسی در نزدیکی TE در دو طرف ایرفویل با هم برابر است :

$$U_1 \cos(\theta_1) + V_1 \sin(\theta_1) = -U_N \cos(\theta_N) - V_N \sin(\theta_N)$$

که با ساده سازی و جایگذاری به فرمت زیر در می آید :

$$\sum_{i=1}^N A_{N+1,i} \sigma_i + A_{N+1,N+1} \Gamma = b_{N+1}$$

حال با اضافه کردن این معادله به  $N$  معادله ی قبلی ماتریس زیر به وجود می آید :

$$\begin{bmatrix} A_{11} & \cdots & A_{1,N+1} \\ \vdots & \ddots & \vdots \\ A_{N+1,1} & \cdots & A_{N+1,N+1} \end{bmatrix} \begin{bmatrix} \sigma_1 \\ \vdots \\ \Gamma \end{bmatrix} = \begin{bmatrix} b_1 \\ \vdots \\ b_{N+1} \end{bmatrix}$$

با حل دستگاه بالا  $\Gamma, \sigma_N, \dots, \sigma_1$  به دست می آید.



نیروی لیفت از ۲ حالت بدست می آید

(۱) شرط کاته

(۲) انتگرال گیری فشار بر روی سط

حال می توان  $C_p$  , Lift ,  $C_l$  را از روابط زیر به دست آورد :

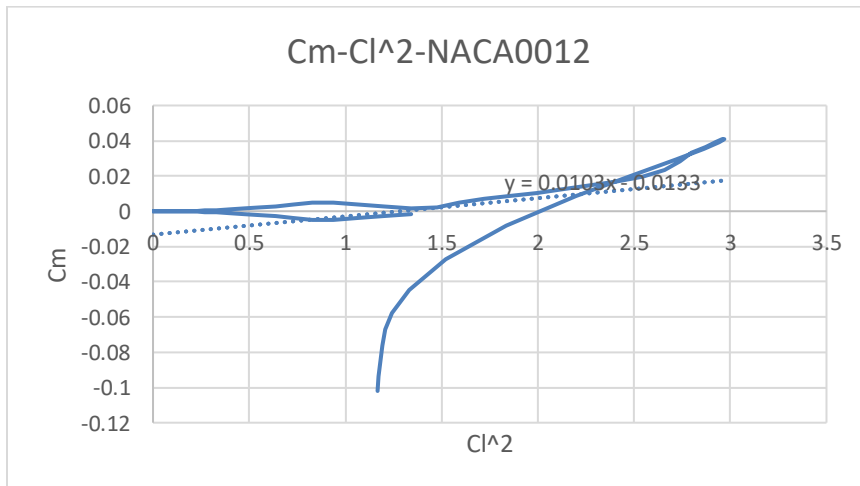
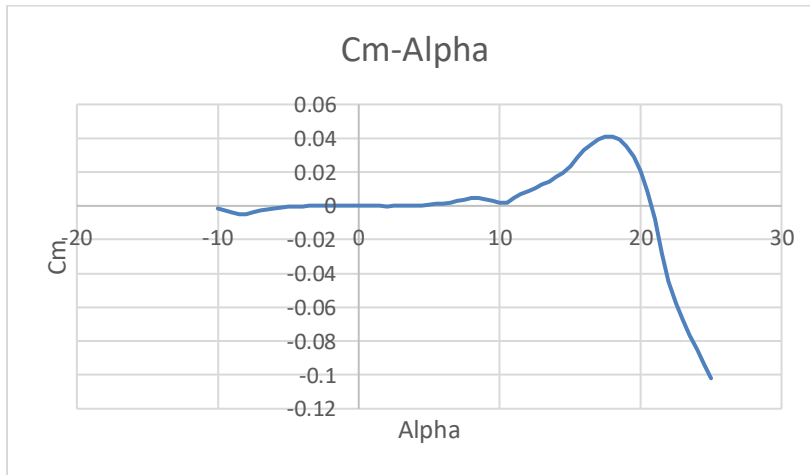
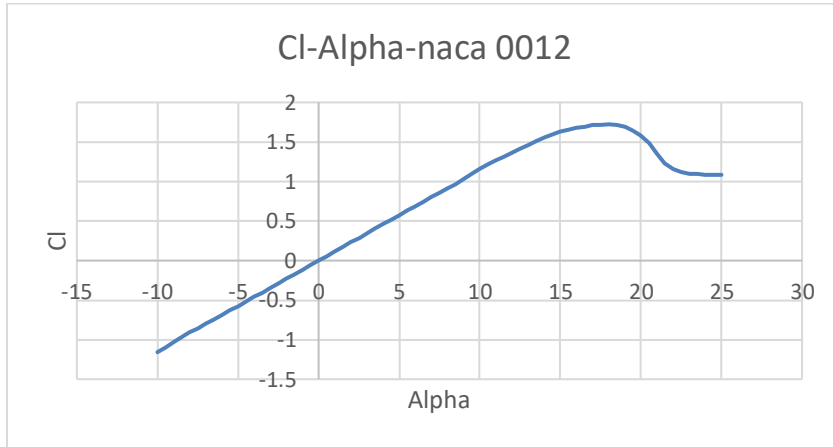
$$C_p = 1 - \frac{V^2}{U_\infty^2}$$

$$L = \rho U_\infty \Gamma$$

$$C_l = \frac{2\Gamma}{U_\infty c}$$

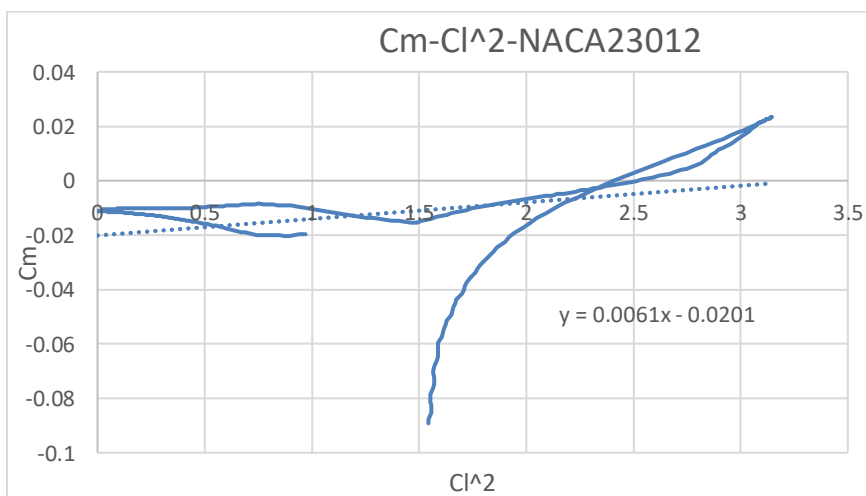
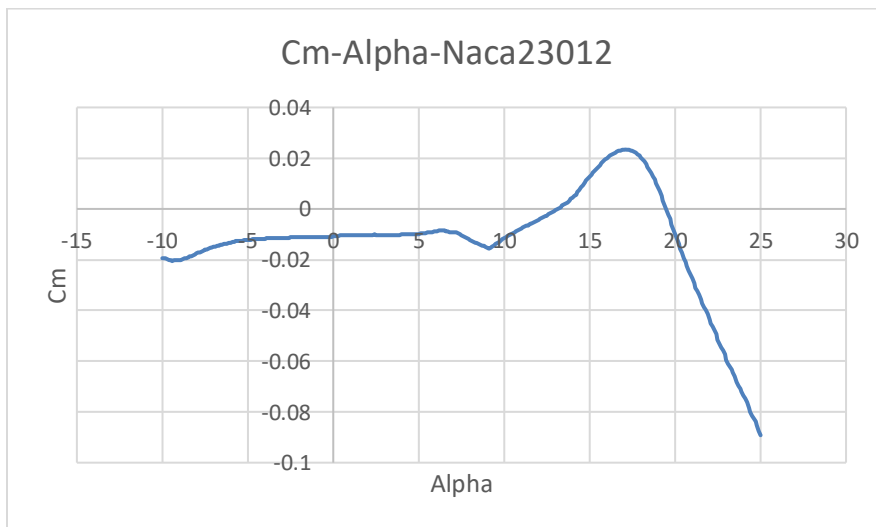
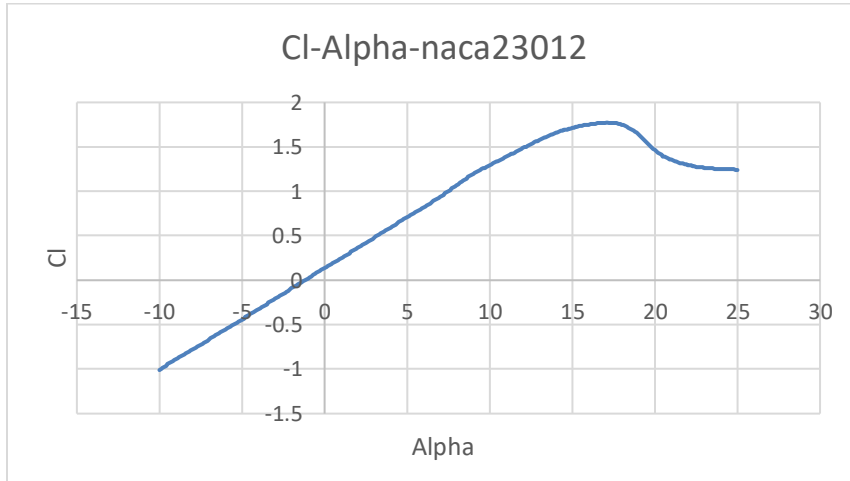
در زیر داده های به دست آمده به صورت نمودار ارائه شده است که توضیح هر کدام در زیر آن آمده است:

- NACA 0012 – plots



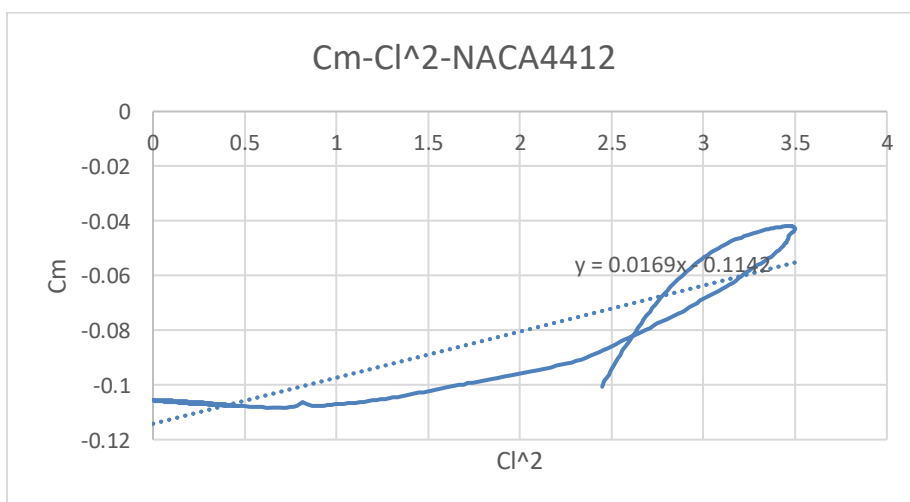
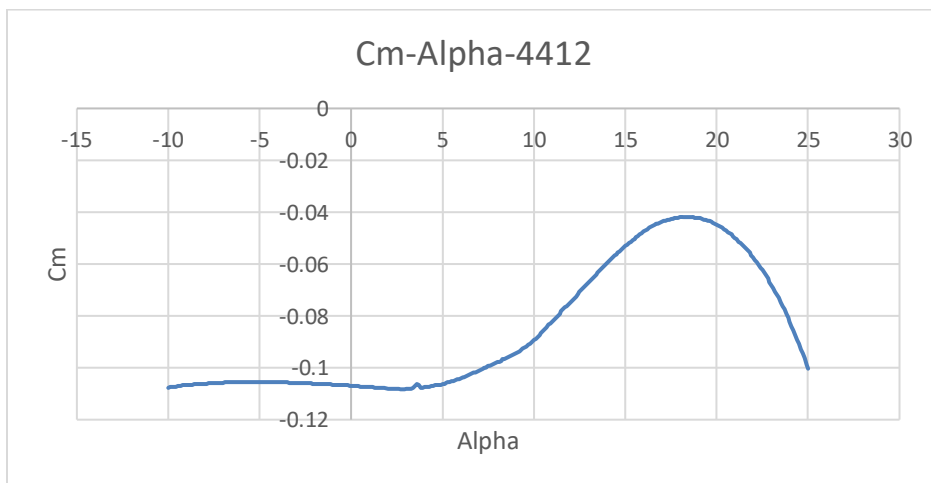
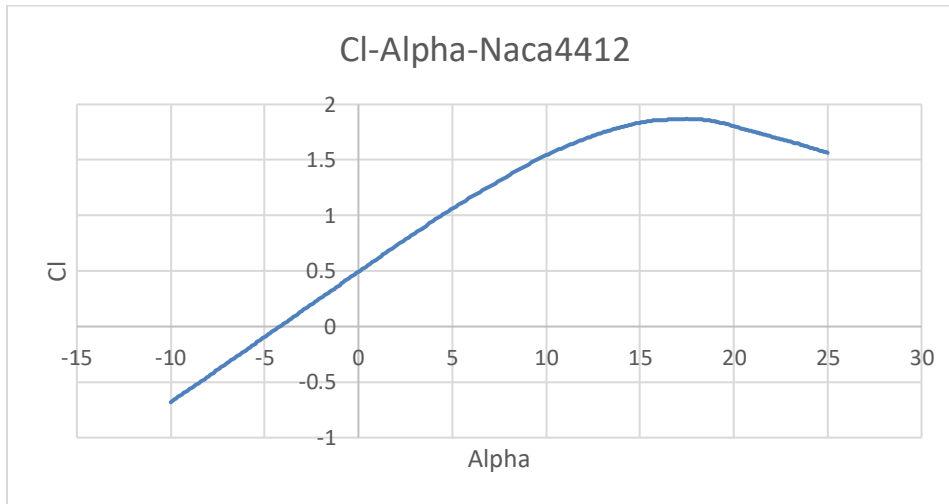
Re = 6e6 M=0.2

- NACA 23012



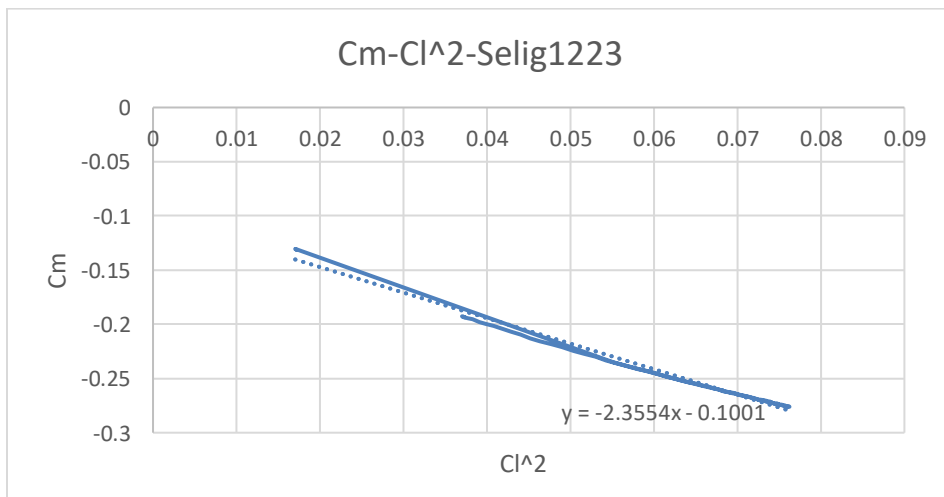
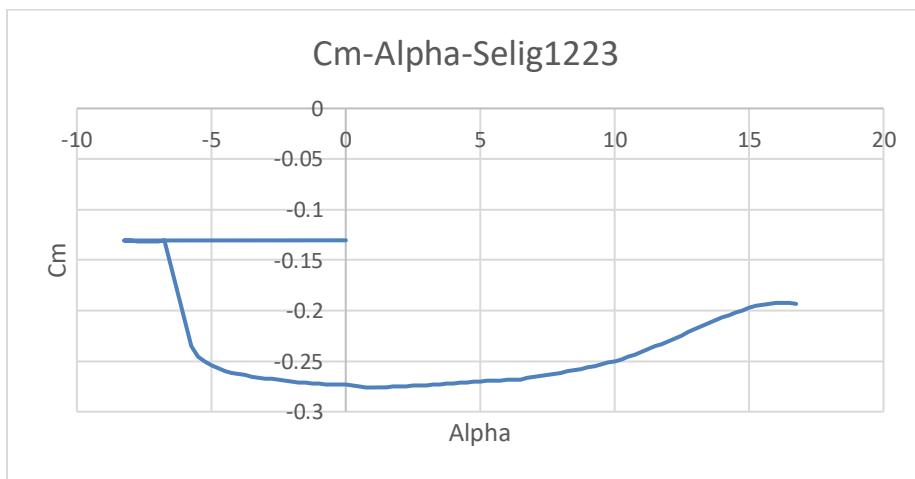
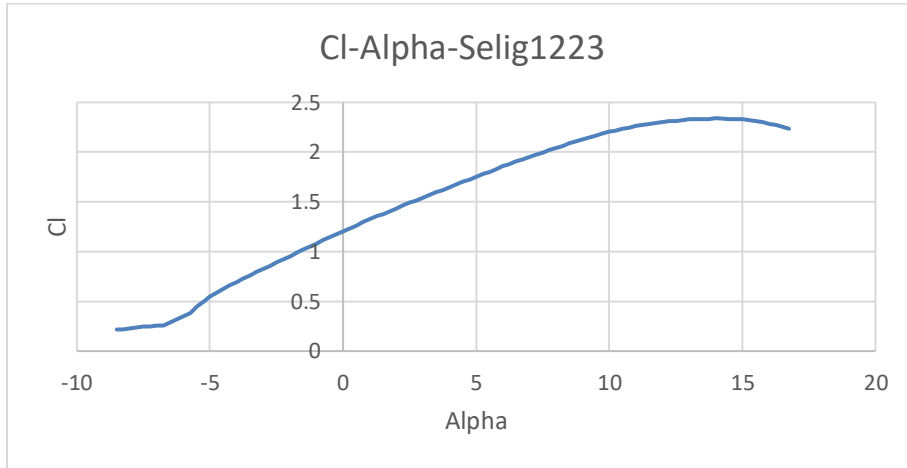
Re = 5e6 M=0.2

- NACA 4412



Re = 5e6 M=0.2

- Selig-s1223



Re=1e6 , M=0.2

Cl - Alpha - 0012

